

# Συστήματα Αναμονής (Queuing Systems)

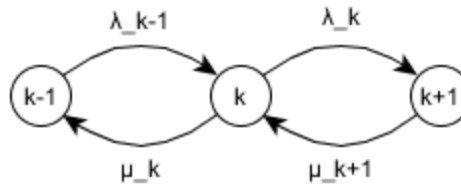
2η Εργαστηριακή Άσκηση

Λεούσης Σάββας

A.M.: 03114945

## Θεωρητική Μελέτη της ουράς M/M/1

A) Προκειμένου η ουρά M/M/1 να είναι εργοδική, η απαραίτητη συνθήκη είναι να ισχύει ότι  $\lambda < \mu$ . Το διάγραμμα ρυθμού μεταβάσεων της ουράς M/M/1 είναι το παρακάτω:



Από τις εξισώσεις ισορροπίας προκύπτουν οι εργοδικές πιθανότητες των καταστάσεων του συστήματος:

- $\lambda P_0 = \mu P_1$  ή  $P_1 = \left(\frac{\lambda}{\mu}\right) P_0 = \rho P_0$
- $(\lambda + \mu) P_1 = \lambda P_0 + \mu P_2$  ή  $P_2 = \rho^2 P_0$  και  $P_k = \rho^k P_0, k > 0$
- $P_0 + P_1 + \dots + P_k + \dots = 1 = P_0(1 + \rho + \rho^2 + \rho^3 + \dots)$

Για  $0 < \rho < 1$ , η δυναμοσειρά συγκλίνει  $P_0\left(\frac{1}{1-\rho}\right) = 1$ ,

Τότε:  $P_0 = (1-\rho)$ ,  $P_k = (1-\rho)\rho^k, k > 0$

B) Είναι:

$$\begin{aligned}
 E[n(t)] &= \sum_{k=1}^{+\infty} k P_k = \sum_{k=1}^{+\infty} (1-\rho) k \rho^k = \sum_{k=1}^{+\infty} k \rho^k - \sum_{k=1}^{+\infty} k \rho^{k+1} = \\
 &= \frac{\rho}{(1-\rho)^2} - \frac{\rho(1-\rho)}{(1-\rho)^2} = \frac{\rho(1-\rho)}{(1-\rho)^2} = \frac{\rho}{1-\rho}, \text{ όπου } \rho = \frac{\lambda}{\mu}.
 \end{aligned}$$

Ο μέσος χρόνος καθυστέρησης ενός πελάτη στο σύστημα, όταν η ουρά αναμονής βρίσκεται σε κατάσταση ισορροπίας, μπορεί να υπολογιστεί από τον τύπου του Little:

$$E(T) = \frac{E[n(t)]}{\gamma} \xRightarrow{\gamma=\lambda}$$

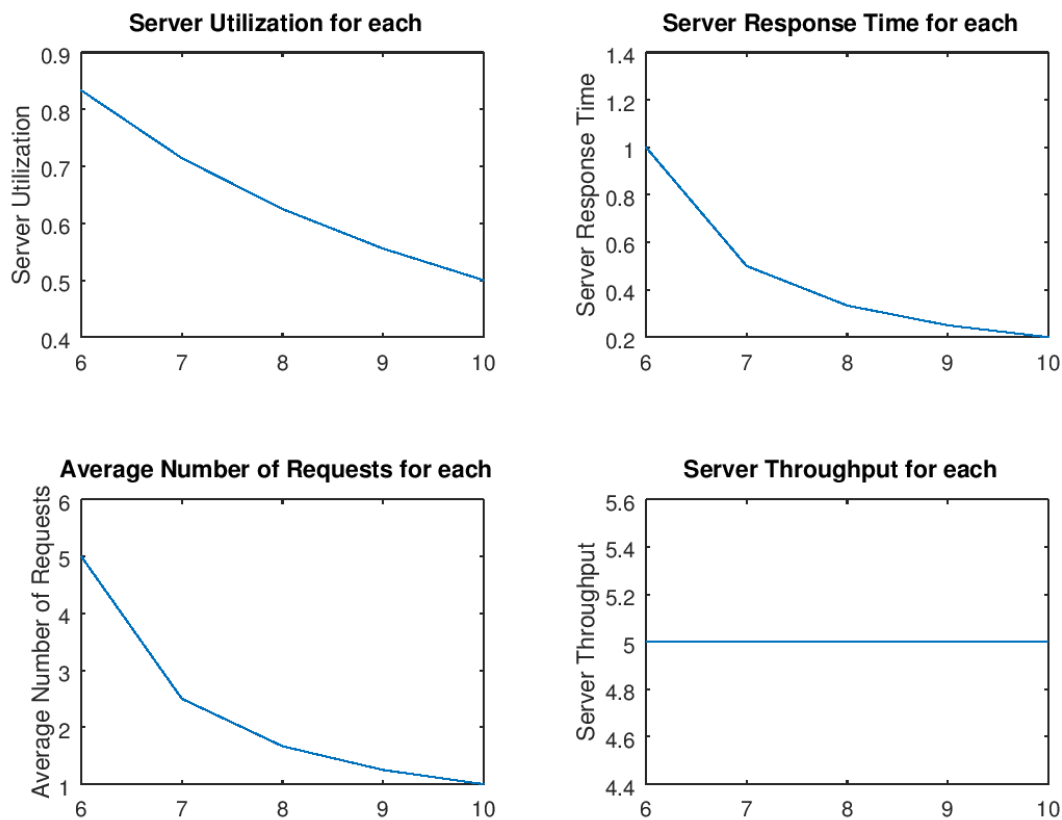
$$E(T) = \frac{E[n(t)]}{\lambda} = \frac{\rho}{(1-\rho)\lambda} = \frac{\frac{\lambda}{\mu}}{(1-\rho)\lambda} = \frac{1}{\mu(1-\rho)}$$

C) Σε ένα σύστημα M/M/1 μπορεί να υπάρξει χρονική στιγμή όπου θα υπάρχουν 57 πελάτες στο σύστημα, καθώς ο buffer της ουράς είναι απεριόριστος, επομένως πάντα υπάρχει η πιθανότητα να βρεθούν 57 πελάτες σε αυτόν.

- D) Δεν θα άλλαζε τίποτα αν αρχικά υπήρχαν 5 πελάτες, καθώς το σύστημα είναι ανεξάρτητο από την αρχική κατάσταση.

### Ανάλυση ουράς M/M/1 με Octave

- A) Προκειμένου το σύστημα να είναι εργοδικό, οι αποδεκτοί ρυθμοί εξυπηρέτησης είναι  $\mu=6,7,8,9,10$  πελάτες/min.
- B) Για κάθε αποδεκτό ρυθμό εξυπηρέτησης, προκύπτουν τα παρακάτω διαγράμματα βαθμού χρησιμοποίησης (utilization), μέσου χρόνου καθυστέρησης του συστήματος  $E(T)$ , μέσου αριθμού πελατών στο σύστημα, και ρυθμαπόδοσης (throughput) ως προς το ρυθμό εξυπηρέτησης:



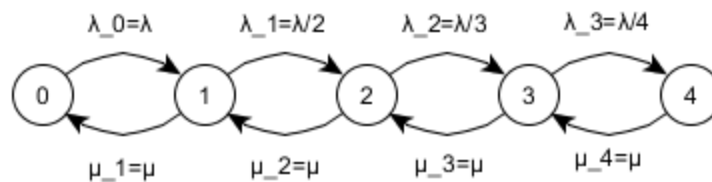
- C) Θα επιλέγαμε τον μέσο ρυθμό εξυπηρέτησης  $\mu=10$  πελάτες/min γιατί ο χρόνος καθυστέρησης ελαχιστοποιείται για αυτήν την τιμή.
- D) Το throughput σε μία ουρά M/M/1 παραμένει σταθερό και ίσο με το  $\lambda$ .

## Σύγκριση συστημάτων με δύο εξυπηρετητές

Προσωμοιώνοντας την ουρά M/M/2, βλέπουμε ότι ο μέσος χρόνος καθυστέρησης του συστήματος είναι 0.13333 secs (για  $\lambda=10$  και  $\mu=10$ ), ενώ για τις δύο παράλληλες ουρές M/M/1, θεωρώντας ότι η διάσπαση των αφίξεων Poisson είναι τυχαία και ισοπίθανη, επομένως για κάθε ουρά M/M/1 ισχύει ξεχωριστά  $\lambda^*=10*1/2=5$  και  $\mu^*=\mu=10$ , ο μέσος χρόνος καθυστέρησης που προέκυψε είναι 0,2 secs. Προφανώς θα επιλέγαμε το σύστημα M/M/2 εφόσον ανταποκρίνεται γρηγορότερα στις αφίξεις πελατών.

## Διαδικασία γεννήσεων θανάτων (birth-death process): εφαρμογή σε σύστημα M/M/1/K

- A) Παρακάτω βρίσκεται το διάγραμμα ρυθμού μεταβάσεων για το σύστημα που ζητήθηκε η μοντελοποίησή του:



Οι εργοδικές πιθανότητες του συστήματος, με βάση τις εξισώσεις ισορροπίας είναι:

$$P_i = \rho^i P_0, i = 0, 1, 2, 3, 4, \rho = \frac{\lambda}{\mu} = 0.5, \lambda_i = \frac{\lambda}{i+1}, \mu_i = \mu = 10, \lambda = 5$$

$$M \in P_0 = \frac{1-\rho_0}{1-\rho_0^5} = 0.6066,$$

$$P_1 = \rho^1 P_0 = 0.3033,$$

$$P_2 = \rho^2 P_0 = 0.0758,$$

$$P_3 = \rho^3 P_0 = 0.0126,$$

$$P_4 = \rho^4 P_0 = 0.0016$$

Πιθανότητα Απώλειας:  $P_{blocking} = P_4 = 0.0016$

B)

i) Η μήτρα ρυθμού μεταβάσεων είναι η παρακάτω:

```
transition_matrix =  
  
-5.00000    5.00000    0.00000    0.00000    0.00000  
10.00000   -12.50000    2.50000    0.00000    0.00000  
 0.00000    10.00000   -11.66667    1.66667    0.00000  
 0.00000    0.00000    10.00000   -11.25000    1.25000  
 0.00000    0.00000    0.00000    10.00000   -10.00000
```

ii) Οι εργοδικές πιθανότητες των καταστάσεων του συστήματος οι οποίες υπολογίστηκαν μέσω της εντολής `ctmc` είναι οι εξής:

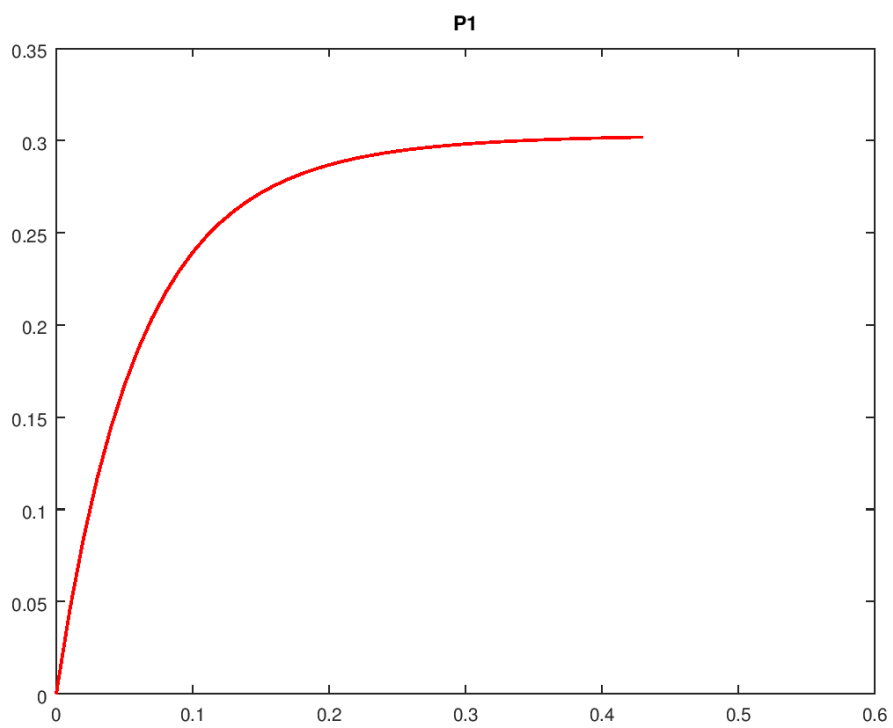
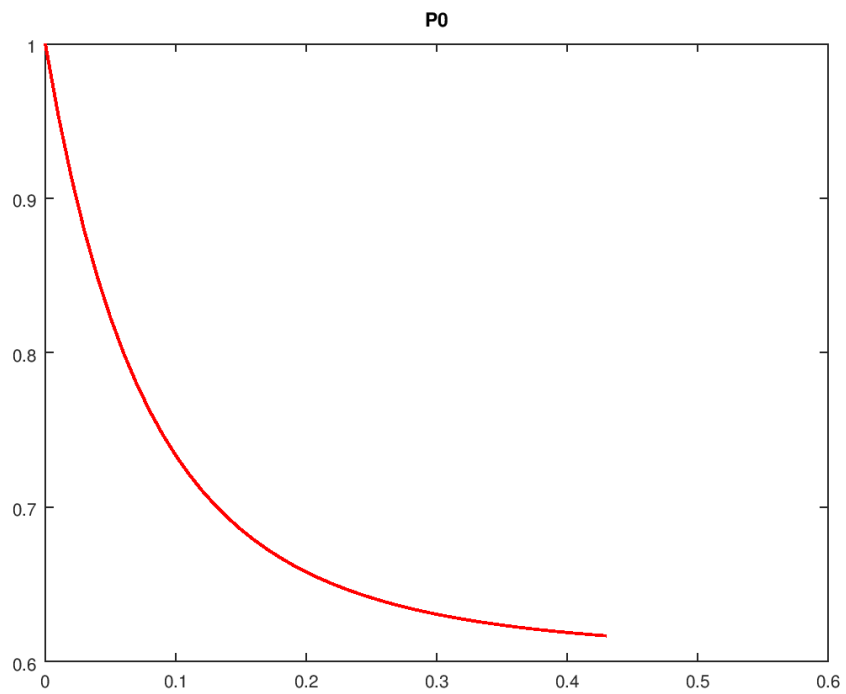
$P =$

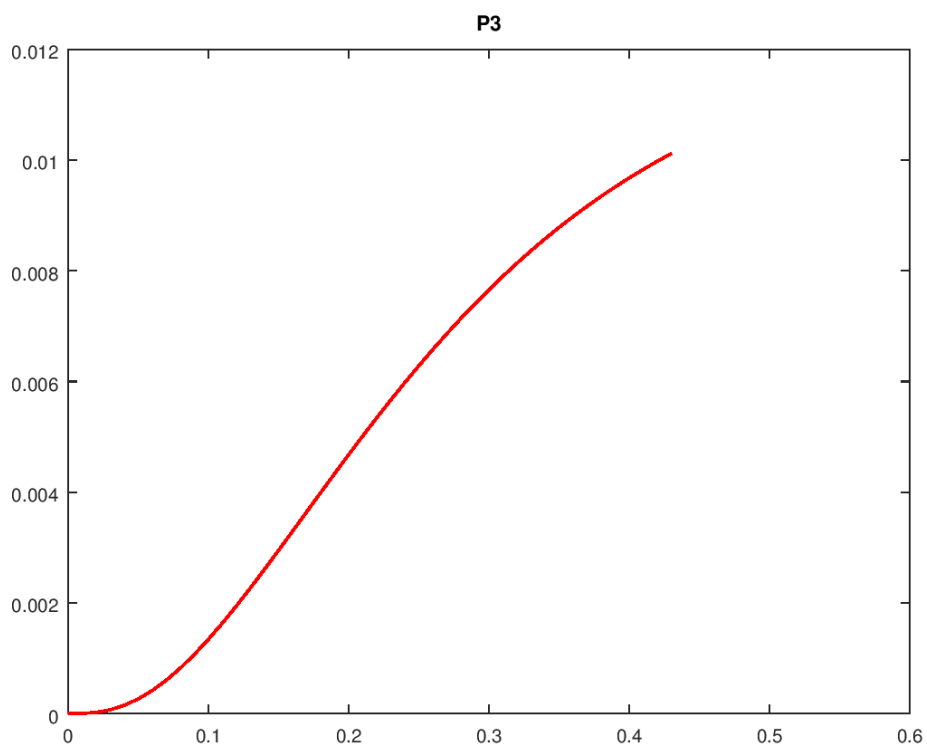
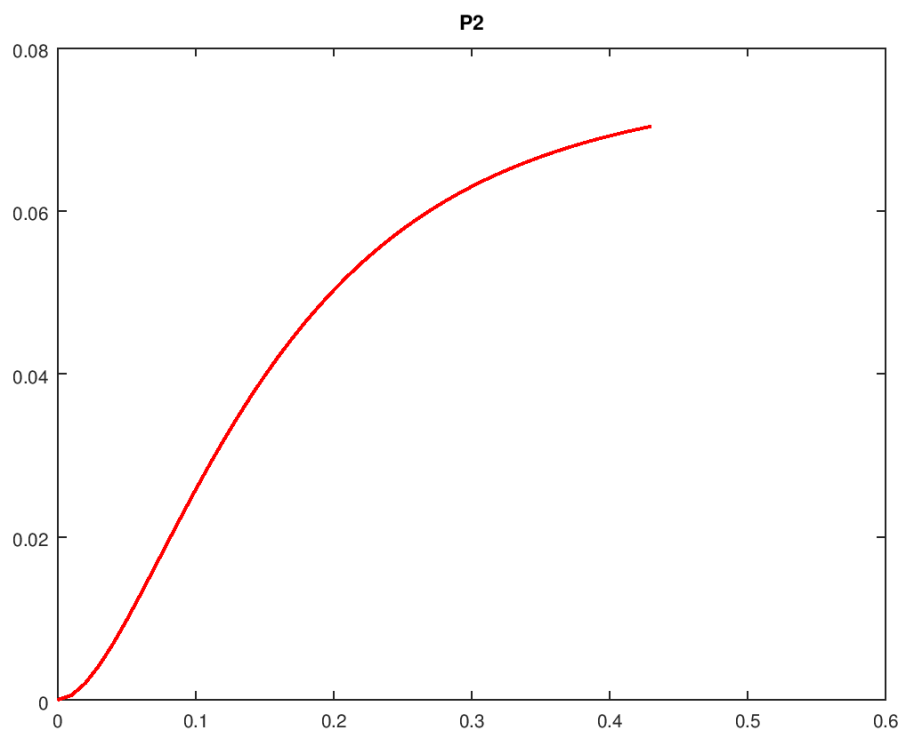
```
0.6066351    0.3033175    0.0758294    0.0126382    0.0015798
```

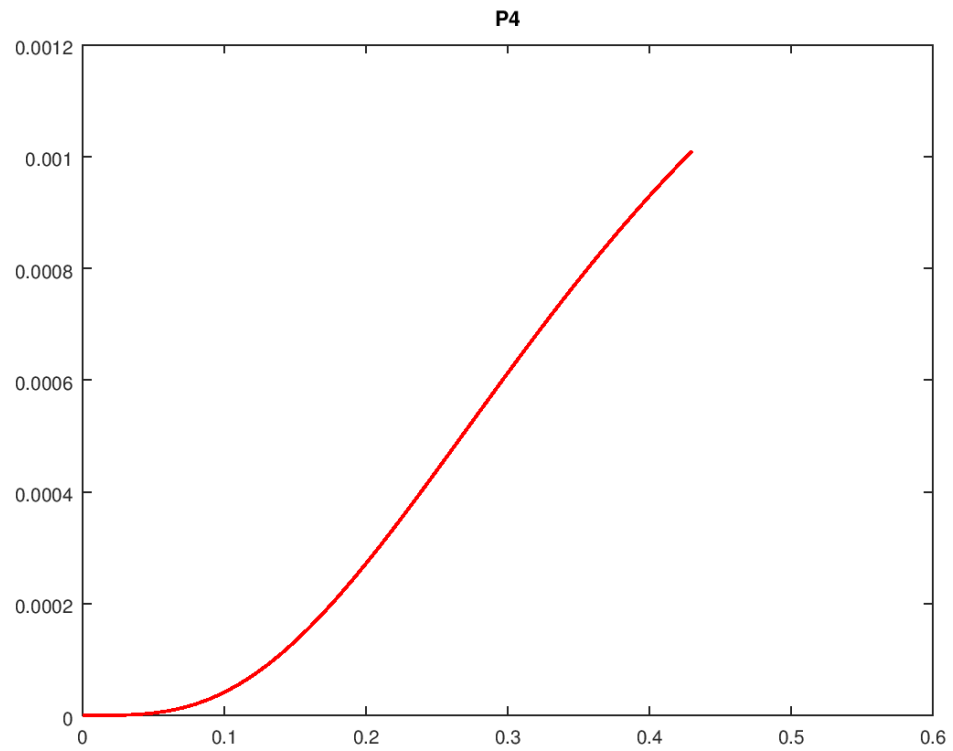
iii)  $E[n(t)] = \rho \frac{1-(4+1)\rho^4+4\rho^{4+1}}{(1-\rho)(1-\rho^{4+1})} = 0.8387$

iv)  $P_{blocking} = P_4 = 0.0015798$

v) Παρακάτω παρατίθεται τα διαγράμματα των πιθανοτήτων των καταστάσεων του συστήματος σαν συναρτήσεις του χρόνου από την αρχική κατάσταση μέχρι οι πιθανότητες να έχουν απόσταση μικρότερη του 1% από τις εργοδικές πιθανότητες:

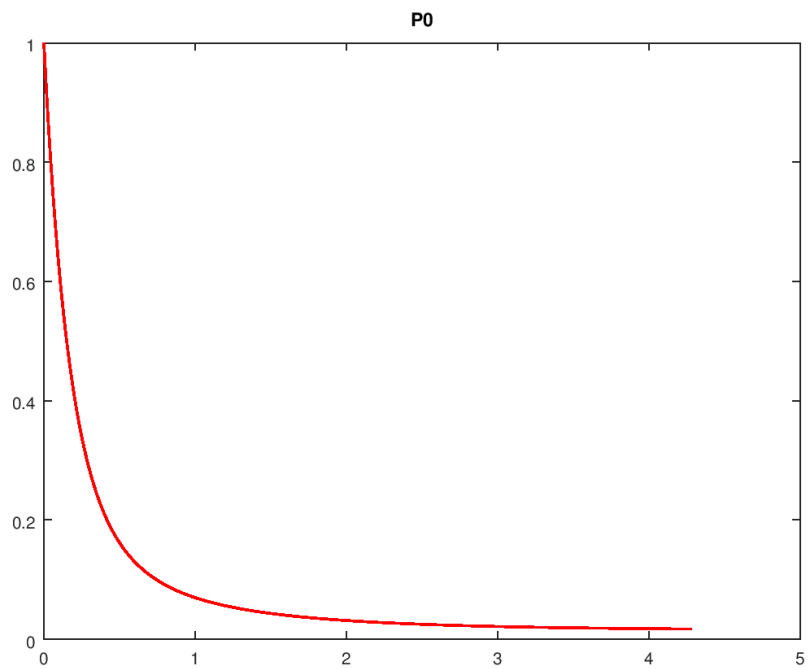




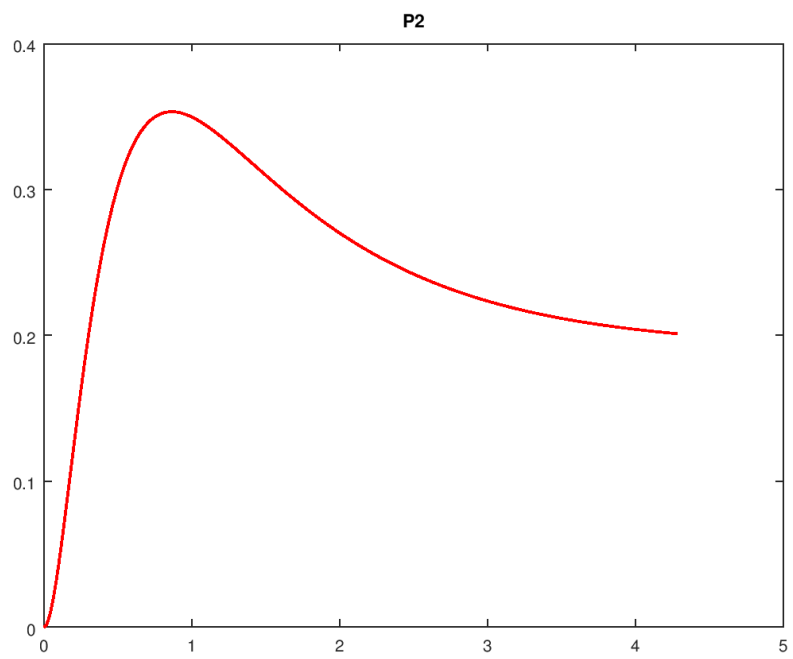
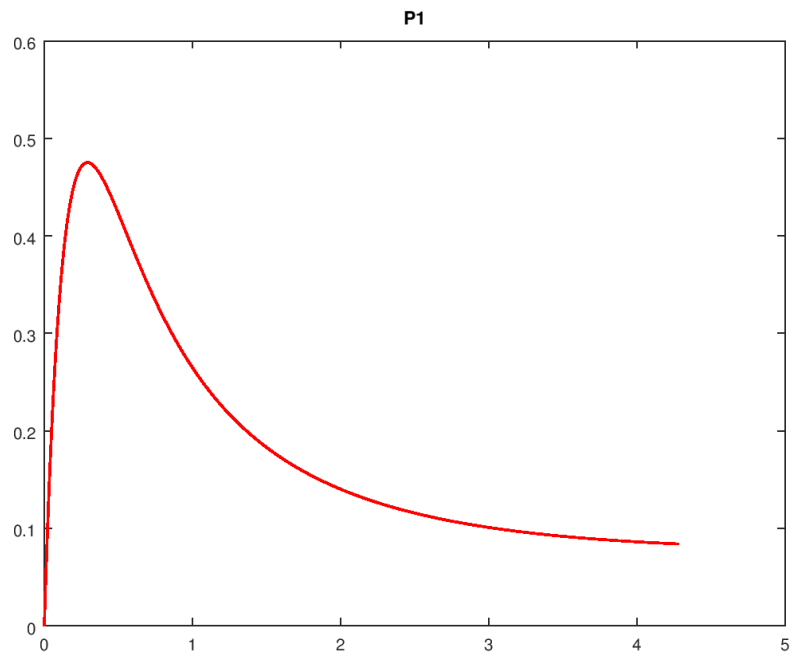


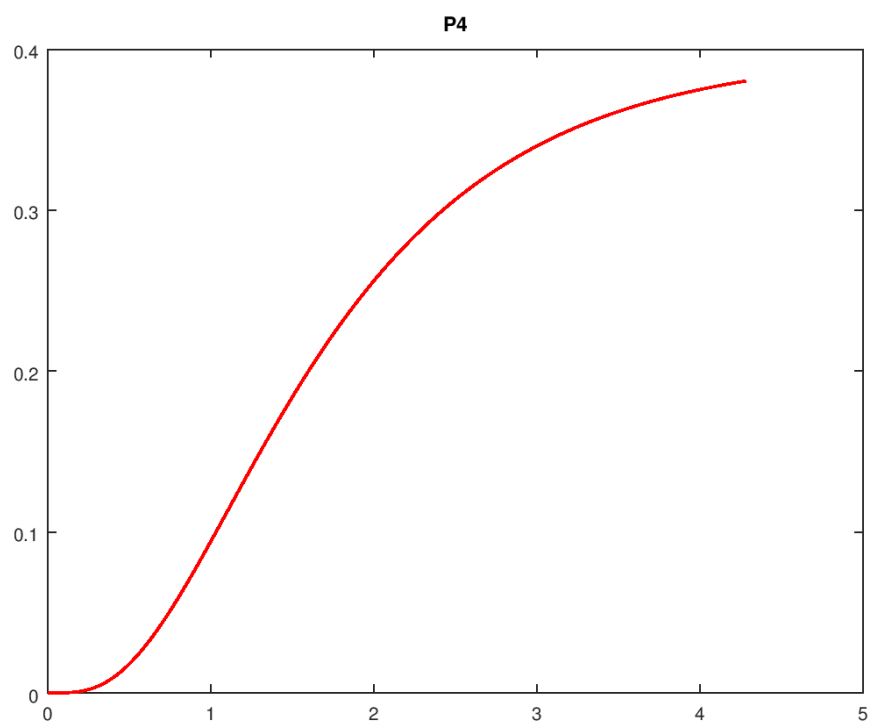
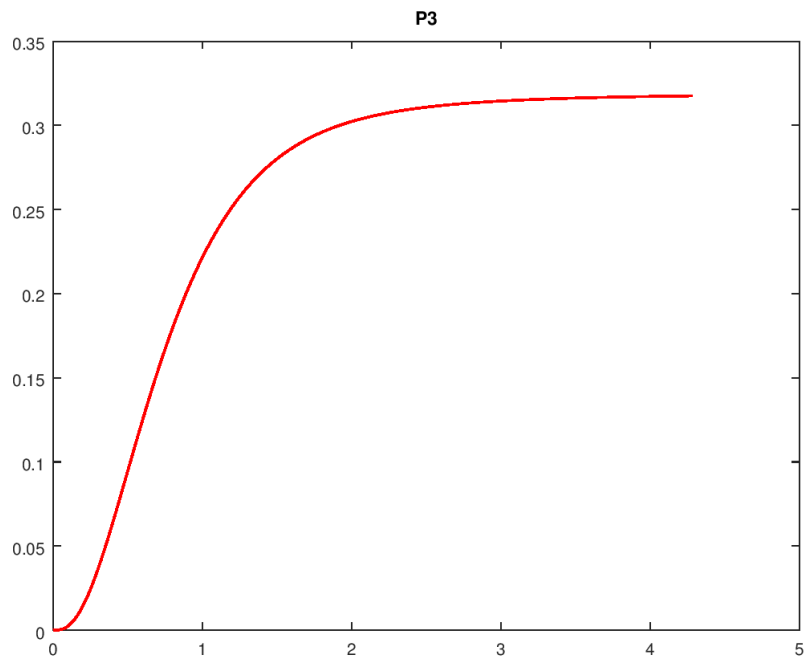
vi) Παρακάτω παρατίθενται τα διαγράμματα του ερωτήματος (v) για άλλες παραμέτρους:

i) Για  $\lambda=5$ ,  $\mu=1$ :

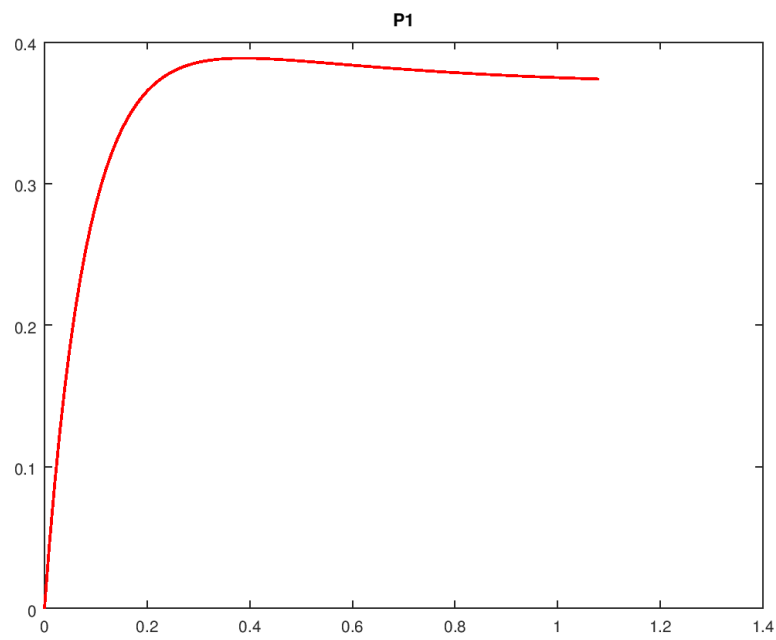
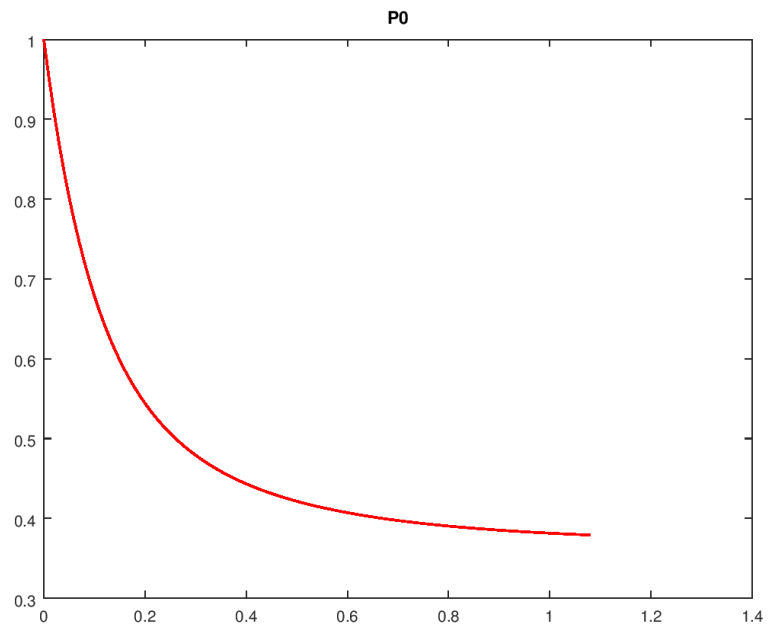


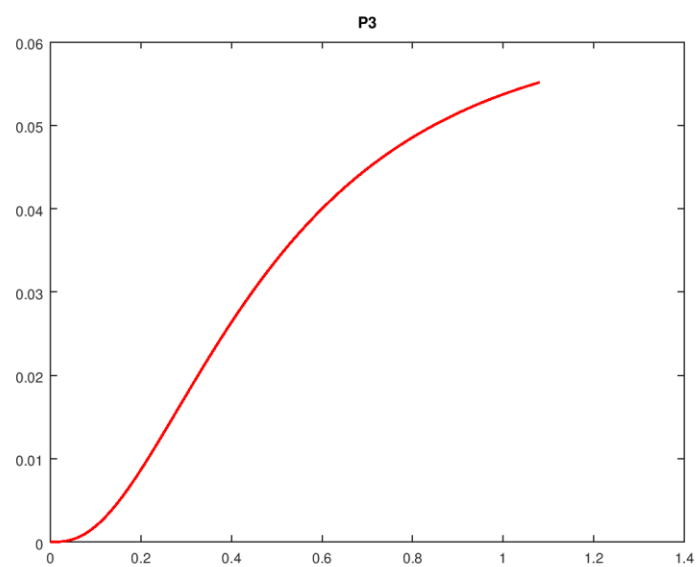
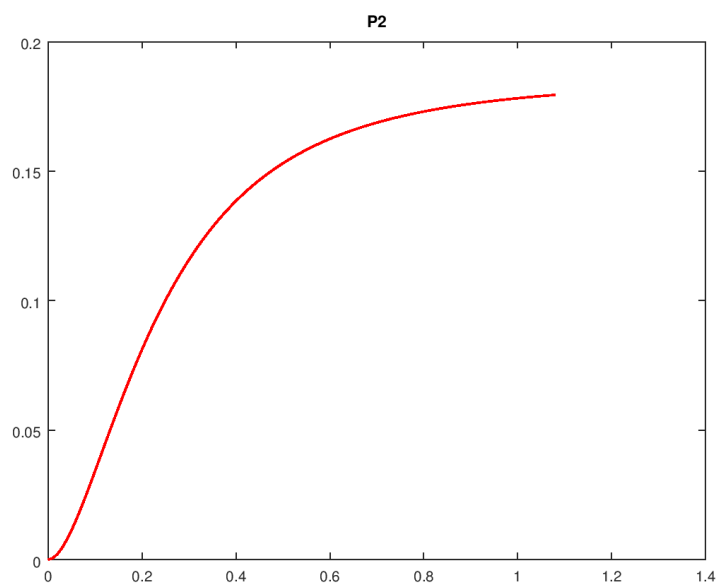


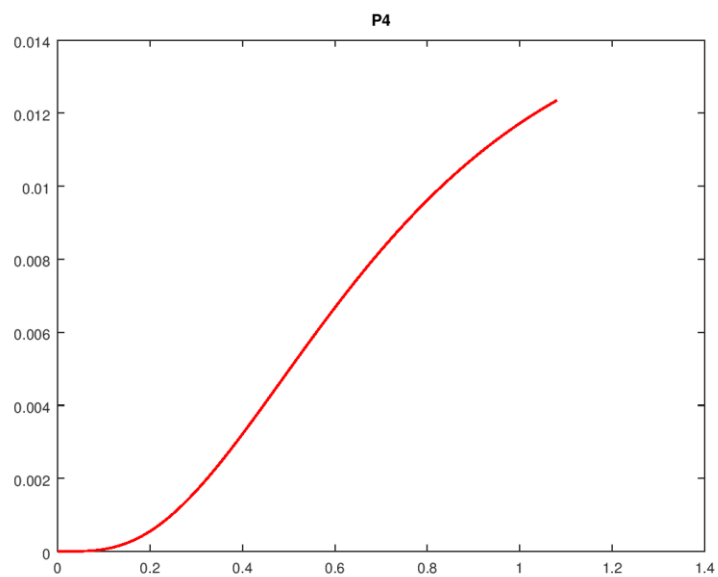




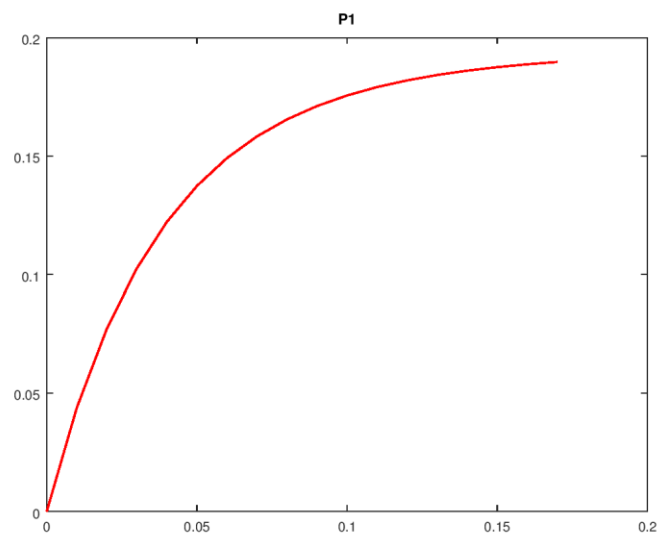
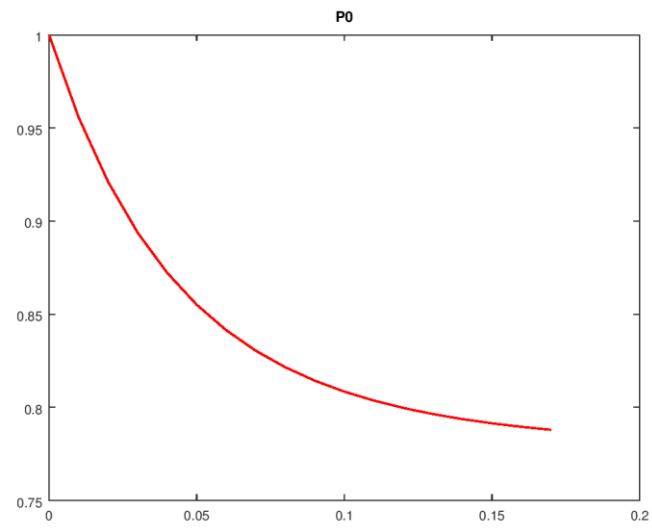
ii) Για  $\lambda=5, \mu=5$ :

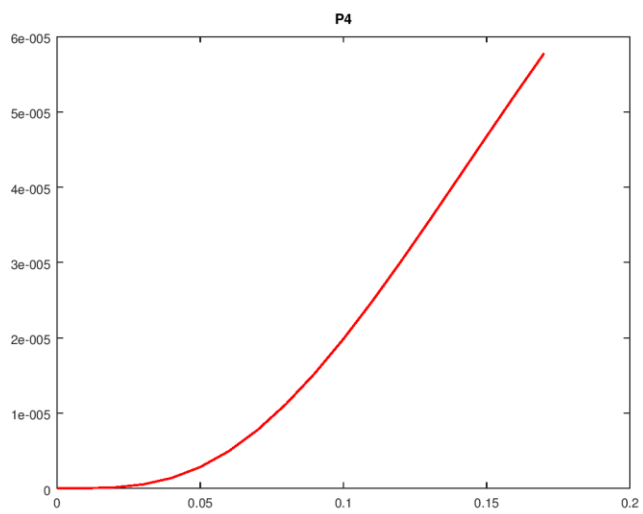
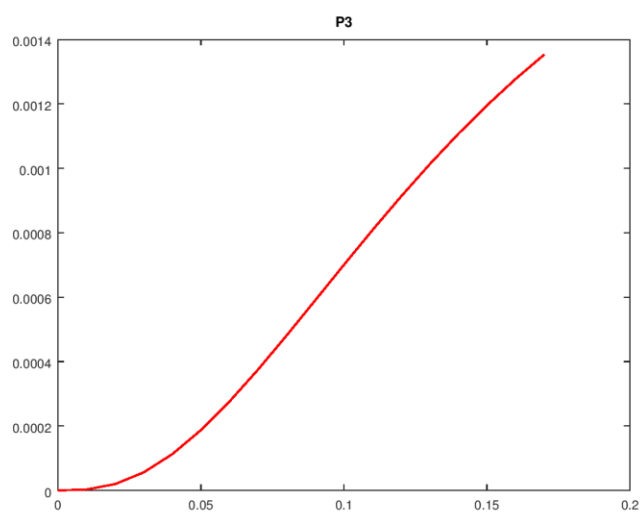
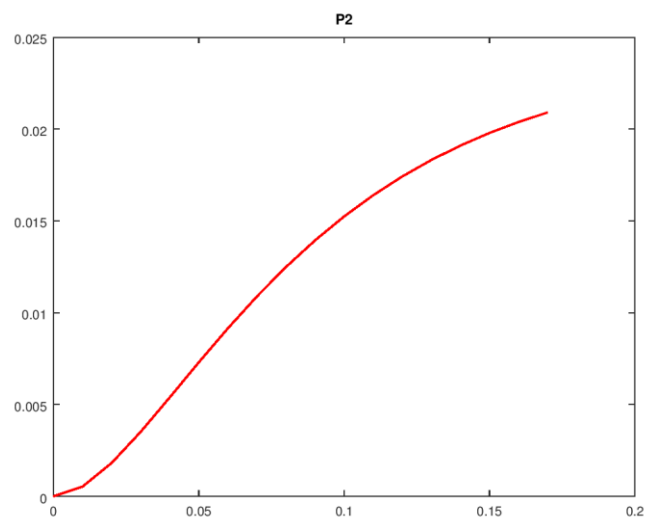






iii) Για  $\lambda=5, \mu=20$ :





Παρατηρούμε ότι όσο πιο μικρό είναι το  $\mu$ , τόσο πιο γρήγορα η πιθανότητα  $P_0$  θα συγκλίνει στο μηδέν ενώ οι υπόλοιπες πιθανότητες αποκλίνουν απο το μηδέν πιο γρήγορα και αντίστροφα. Επίσης παρατηρούμε ότι από την πιθανότητα  $P_0$  μέχρι την πιθανότητα  $P_4$  η συμπεριφορά στην κυρτότητα αλλάζει.

## Παράρτημα (κώδικας Lab2.m)

```
clc;
clear all;
close all;

#####M/M/1 QUEUE ANALYSIS WITH OCTAVE#####

# B

lambda=5;
mu=[6,7,8,9,10];
[U R Q X p0] = qsmml( lambda,mu);

figure(1);
subplot(2,2,1);
plot(mu,U);
title("Server Utilization for each  $\mu$ ");
xlabel(" $\mu$ ");
ylabel("Server Utilization");
subplot(2,2,2);
plot(mu,R);
title("Server Response Time for each  $\mu$ ");
xlabel(" $\mu$ ");
ylabel("Server Response Time");
subplot(2,2,3);
plot(mu,Q);
title("Average Number of Requests for each  $\mu$ ");
xlabel(" $\mu$ ");
ylabel("Average Number of Requests");
subplot(2,2,4);
plot(mu,X);
title("Server Throughput for each  $\mu$ ");
xlabel(" $\mu$ ");
ylabel("Server Throughput");
```



#####COMPARISON OF SYSTEMS WITH 2 SERVERS#####

```
lambda=10;
```

```
mu=10;
```

```
[U R Q X p0 pm] = qsmmm( lambda, mu, 2 );
```

```
display("M/M/2 queue response time =");
```

```
display(R);
```

```
[U R Q X p0] = qsmml( lambda/2, mu ); #Assuming that each of the
                                         #M/M/1 queues have the
```

```
same
```

```
#propability of being used
```

```
by
```

```
#the clients, then the
```

```
lambda
```

```
#parameter of each queue
```

```
becomes
```

```
#lambda times that
```

```
propability, which
```

```
#is lambda/2.
```

```
display("2 M/M/1 parallel queues response time =");
```

```
display(R);
```

#####BIRTH-DEATH PROCESS#####

#####IMPLEMENTATION IN A M/M/1/K SYSTEM#####

```
# B lambda=5, mu=10
```

```
states = [0,1,2,3,4];
```

```
initial_state = [1,0,0,0,0];
```

```
lambda = 5;
```

```
mu = 10;
```

```
births_B = [lambda,lambda/2,lambda/3,lambda/4];
```

```
deaths_D = [mu,mu,mu,mu];
```

```
# B-i
```

```
transition_matrix = ctmcbd(births_B,deaths_D);
```

```
display(transition_matrix);
```

```
# B-ii
```

```
P = ctmc(transition_matrix);
```

```
display("Ergodic propabilities (From P0 to P4):");
```

```
display(P);
```

```
# B-v
```

```
for i=[1,2,3,4,5]
```

```
    index = 0;
```

```
    for T=0:0.01:50
```

```

        index = index + 1;
        P0 = ctmc(transition_matrix,T,initial_state);
        Prob0(index) = P0(i);
        if P0-P < 0.01
            break;
        endif
    endfor

    T = 0:0.01:T;
    figure(i+1);
    plot(T,Prob0,"r","linewidth",1.3);
    title({"lambda=10, mu=5";strcat("P",num2str(i-1));});
endfor
# B-vi-i lambda=5, mu=1
clear Prob0,T;
states = [0,1,2,3,4];
initial_state = [1,0,0,0,0];
lambda = 5;
mu = 1;
births_B = [lambda,lambda/2,lambda/3,lambda/4];
deaths_D = [mu,mu,mu,mu];
transition_matrix = ctmcdb(births_B,deaths_D);
P = ctmc(transition_matrix);
for i=[1,2,3,4,5]
    index = 0;
    for T=0:0.01:50
        index = index + 1;
        P0 = ctmc(transition_matrix,T,initial_state);
        Prob0(index) = P0(i);
        if P0-P < 0.01
            break;
        endif
    endfor
    T = 0:0.01:T;
    figure(i+6);
    plot(T,Prob0,"r","linewidth",1.3);
    title({"lambda=5, mu=1";strcat("P",num2str(i-1));});
endfor
# B-vi-ii lambda=5, mu=5
clear Prob0,T;
states = [0,1,2,3,4];
initial_state = [1,0,0,0,0];
lambda = 5;
mu = 5;

```

```

births_B = [lambda,lambda/2,lambda/3,lambda/4];
deaths_D = [mu,mu,mu,mu];
transition_matrix = ctmcdb(births_B,deaths_D);
P = ctmc(transition_matrix);
for i=[1,2,3,4,5]
    index = 0;
    for T=0:0.01:50
        index = index + 1;
        P0 = ctmc(transition_matrix,T,initial_state);
        Prob0(index) = P0(i);
        if P0-P < 0.01
            break;
        endif
    endfor
    T = 0:0.01:T;
    figure(i+11);
    plot(T,Prob0,"r","linewidth",1.3);
    title({"lambda=5, mu=5";strcat("P",num2str(i-1));});
endfor
# B-vi-iii lambda=5, mu=20
clear Prob0,T;
states = [0,1,2,3,4];
initial_state = [1,0,0,0,0];
lambda = 5;
mu = 20;
births_B = [lambda,lambda/2,lambda/3,lambda/4];
deaths_D = [mu,mu,mu,mu];
transition_matrix = ctmcdb(births_B,deaths_D);
P = ctmc(transition_matrix);
for i=[1,2,3,4,5]
    index = 0;
    for T=0:0.01:50
        index = index + 1;
        P0 = ctmc(transition_matrix,T,initial_state);
        Prob0(index) = P0(i);
        if P0-P < 0.01
            break;
        endif
    endfor
    T = 0:0.01:T;
    figure(i+16);
    plot(T,Prob0,"r","linewidth",1.3);
    title({"lambda=5, mu=20";strcat("P",num2str(i-1));});
endfor

```